

鲁桑枝中黄酮类成分研究

钟雪敏¹, 黄晓君², 陈凌云¹, 沈梅¹, 石俊敏³, 贺丽萍⁴, 韩伟立^{1*}

1. 南方医科大学公共卫生学院 卫生检测中心, 广东省热带病研究重点实验室, 广东 广州 510515

2. 暨南大学药学院 中药及天然药物研究所, 广东 广州 510632

3. 南方医科大学 中心实验室, 广东 广州 510515

4. 华南农业大学 测试中心, 广东 广州 510642

摘要: 目的 研究鲁桑 *Morus multicaulis* 枝中的化学成分。方法 采用多种色谱技术进行分离纯化, 通过理化性质和波谱学数据对其进行结构鉴定。结果 从鲁桑枝 90%乙醇提取物中得到 6 个黄酮类成分, 分别鉴定为桑枝酮 A(1)、carpachromene(2)、补骨脂乙素(3)、异甘草素(4)、芹菜素(5)和槲皮素(6), 其中化合物 1 的绝对构型通过圆二色谱量子化学计算得到了确定。结论 化合物 1 为新化合物, 命名为桑枝酮 A, 化合物 2~4 为首次从该植物中分离得到。

关键词: 鲁桑; 黄酮; 桑枝酮 A; 圆二色谱; 补骨脂乙素; 异甘草素

中图分类号: R284.1 文献标志码: A 文章编号: 0253 - 2670(2019)08 - 1898 - 04

DOI: 10.7501/j.issn.0253-2670.2019.08.018

Flavonoids from twigs of *Morus multicaulis*

ZHONG Xue-min¹, HUANG Xiao-jun², CHEN Ling-yun¹, SHEN Mei¹, SHI Jun-min³, HE Li-ping⁴, HAN Wei-li¹

1. Guangdong Key Laboratory of Tropical Disease Research, Department of inspection and quarantine, School of Public Health, Southern Medical University, Guangzhou 510515, China
2. Institute of Traditional Chinese Medicine & Natural Products, College of Pharmacy, Jinan University, Guangzhou 510632, China
3. Central Laboratory, Southern Medical University, Guangzhou 510515, China
4. Instrumental Analysis & Research Center, South China Agricultural University, Guangzhou 510642, China

Abstract: Objective To investigate the chemical compounds from the twigs of *Morus multicaulis*. **Methods** The chemical constituents were isolated by various chromatographic methods from 90% ethanol aqueous extract of *M. multicaulis* and the structures were elucidated by a combined analysis of physicochemical properties, as well as spectroscopic methods including UV, IR, MS ECD and NMR. **Results** Six flavonoids were isolated and the structures were identified as moritwigsone A (1), carpachromene (2), isobavachalcone (3), isoliquiritigenin (4), apigenin (5), and quercitrin (6). The absolute configuration of compound 1 was determined by electronic circular dichroism (ECD) calculation. **Conclusion** Compound 1 is a new compound, named moritwigsone A, and compounds 2—4 are isolated from this plant for the first time.

Key words: *Morus multicaulis* Perr.; flavonoid; moritwigsone A; electronic circular dichroism; isobavachalcone; isoliquiritigenin

鲁桑枝为桑科 (*Morus*) 桑属植物鲁桑 *Morus multicaulis* Perr. 的干燥嫩枝, 同属植物白桑枝为《中国药典》收录的传统中药。《中华本草》^[1]记载桑枝具有祛风湿、通经络、行水气的功效。现代药理研究表明桑枝具有降血糖、抗炎、利尿等活性。国内外对白桑枝化学成分研究较多^[2-4], 其次广东

桑、川桑和黑桑等桑属植物资源中的桑枝化学成分也有报道^[5-7], 从中发现其富含黄酮、Diels-Alder 加合物、香豆素和多羟基生物碱等成分, 而鲁桑枝化学成分的研究相对较少。为促进桑树资源的综合利用, 本实验对鲁桑枝 90%乙醇水提取物的醋酸乙酯部位的化学成分进行了研究, 从中分离并鉴定了

收稿日期: 2018-11-09

基金项目: 广东省自然科学基金项目 (2016A030313541); 南方医科大学公卫学院院长基金项目 (GW201832)

作者简介: 钟雪敏 (1995—), 女, 本科生, 研究方向为活性天然产物研究与开发。E-mail: 779289295@qq.com

*通信作者 韩伟立, 博士, 讲师, 从事中药及活性天然产物研究与开发。Tel: (020)61648564 E-mail: picese.14@gmail.com

6 个黄酮类化合物, 分别为桑枝酮 A (moritwigsone A, **1**)、carpachromene (**2**)、补骨脂乙素 (isobavachalcone, **3**)、异甘草素 (isoliquiritigenin, **4**)、芹菜素 (apigenin, **5**) 和槲皮素 (quercitrin, **6**), 其中, 化合物 **1** 为新化合物, **2~4** 为首次从该植物中分离得到。

1 仪器与材料

Bruker Vertex 70 傅里叶变换红外光谱仪 (KBr 压片)、Bruker AV-400/600 核磁共振仪 (TMS 为内标), Bruker 公司; Chirascan 圆二色谱仪 (英国应用光学物理公司); Orbitrap Fusion Tribrid 高分辨质谱仪 (Thermo Scientific 公司); 岛津 LC-20A 分析型液相色谱仪 (日本岛津公司); Agilent 1260 半制备型高效液相色谱仪 (美国 Agilent 公司); 柱色谱用硅胶 (青岛海洋化工厂); Sephadex LH-20 (Pharmacia 公司); ODS (YMC 公司); 硅胶 GF₂₅₄ 薄层预制板 (烟台化学工业研究所); 液相色谱仪所用试剂为分析纯。

植物样本于 2013 年 7 月采自广东省广州市, 经山西中医学院中药鉴定教研室王兵讲师鉴定为鲁桑 *Morus multicaulis* Perr. 的枝, 样本 (20130725) 存放于南方医科大学公共卫生学院检验检疫学系。

2 提取与分离

干燥的鲁桑枝 8.5 kg 粉碎, 用 90% 乙醇水加热回流提取 3 次, 每次 3 h, 合并提取液后经减压浓缩, 得总浸膏约 550 g。浸膏用水分散后, 依次用石油醚、醋酸乙酯、正丁醇萃取。醋酸乙酯部位经减压浓缩得浸膏约 60 g, 经硅胶柱色谱, 三氯甲烷-甲醇 (100:0→0:100) 梯度洗脱, 洗脱液经薄层色谱检测合并, 得到 11 个主流分 (Fr. A~K)。

Fr. D 经硅胶柱色谱三氯甲烷-甲醇 (95:5→80:20) 梯度洗脱得到 7 个流分 (Fr. D1~7)。Fr. D3 经 Sephadex LH-20 柱色谱, 三氯甲烷-甲醇 (1:1) 等度洗脱, 得到化合物 **2** (7.3 mg)。Fr. D5 经 ODS 柱色谱, 甲醇-水 (1:9→1:1) 梯度洗脱, 再经 Sephadex LH-20 柱色谱, 甲醇-水 (1:1) 洗脱得到化合物 **1** (5.8 mg) 和 **3** (6.7 mg)。Fr. G 经 ODS 柱色谱, 甲醇-水 (1:9→1:1) 梯度洗脱, 到 5 个流分 (Fr. G1~5), Fr. G3 再经制备液相色谱, 甲醇-水 (60:40) 等度洗脱, 体积流量为 5 mL/min, 得到化合物 **4** (8.7 mg) 和 **5** (6.3 mg)。Fr. H 经 Sephadex LH-20 柱色谱分离, 三氯甲烷-甲醇 (1:1) 等度洗脱, 得到化合物 **6** (7.3 mg)。

3 结构鉴定

化合物 **1**: 浅黄色无定形粉末, 与碱蒸气 (氨) 反应呈阳性; UV (甲醇) 光谱在 232, 299, 341 nm 处有最大吸收; IR (KBr) 谱图提示化合物结构中含有羟基 (3 133 cm⁻¹)、羰基 (1 655 cm⁻¹) 和芳香环结构片段 (1 606, 1 560, 1 509, 1 474 cm⁻¹); HR-ESI-MS 谱显示化合物准分子离子峰为 *m/z* 419.150 3 [M-H]⁻ (计算值 C₂₅H₂₃O₆, 419.150 0), 可确定该化合物的分子式为 C₂₅H₂₄O₆, 以上信息提示化合物 **1** 为黄酮类化合物。

化合物 **1** 的 ¹H-NMR 谱 (600 MHz, DMSO-*d*₆) 中显示出 2 个酚羟基的特征质子信号 [δ_H 13.37 (1H, s) 和 10.39 (1H, s)]; 1 组不饱和 ABX 偶合系统的特征质子信号 [δ_H 6.64 (1H, dd, *J* = 10.1, 0.8 Hz), 6.57 (1H, d, *J* = 0.8 Hz), 5.73 (1H, d, *J* = 10.1 Hz)]; 1 组苯环对位取代质子信号 [δ_H 7.94 (2H, d, *J* = 8.8 Hz), 6.93 (2H, d, *J* = 8.8 Hz)]; 3 个甲基质子信号 [δ_H 1.41 (3H, s), 1.07 (3H, s), 1.08 (3H, s)]。综合化合物 **1** 的 ¹³C-NMR 谱 (150 MHz, DMSO-*d*₆) 和 DEPT 135 谱可知其中含有 25 个碳信号, 包括 1 个羰基碳信号 (δ_C 181.9)、5 个氧化的芳香碳信号 (δ_C 163.9, 161.3, 159.0, 156.4, 155.4)、1 个亚甲基碳信号 (δ_C 43.5)、3 个甲基碳信号 (δ_C 26.3, 29.8, 29.9)。综合 ¹H-NMR、¹³C-NMR、¹H-¹H COSY、HSQC 和 HMBC 谱信息, 对化合物 **1** 的碳氢信号进行了全归属 (表 1)。

化合物 **1** 的波谱数据与已知二氢黄酮类化合物 mimulone D^[8] 相似, 仅在归属于黄酮母核 C 环上的 C₂、C₃、C₄ 及 C₁ 位核磁信号具明显差别, 以上信息提示化合物 **1** 的 C₂-C₃ 位为不饱和烯键结构, 而 mimulone D 此处为饱和碳碳键。在 HMBC 谱 (图 1) 中, 可观察到 H-3 位不饱和烯键质子 (δ_H 6.83) 与 C-4 位羰基碳 (δ_C 181.9) 及 C-1' 位 (δ_C 121.0) 芳香碳有相关, 进一步证实了上述结构。

此外, 在 HMBC 谱中, 可观测到 H-1" 位质子 (δ_H 6.64) 与 C-7 (δ_C 159.0) 相关; H-2" 位质子 (δ_H 5.73) 与 C-5" (δ_C 43.5)、C-3" (δ_C 80.1) 相关; H-5" 位质子 (δ_H 2.39) 与 C-6" (δ_C 118.8)、C-3" (δ_C 80.1) 相关; H-6" 位质子 (δ_H 5.53) 与 C-7" (δ_C 143.5) 相关; H-7" 位质子 (δ_H 5.62) 与 C-8" (δ_C 68.8) 相关; H-4" (δ_H 1.41) 与 C-3" (δ_C 80.1) 相关; H-9" (δ_H 1.07) 和 10" (δ_H 1.08) 与 C-7" (δ_C 159.0) 相关, 结合 ¹H-¹H COSY 谱中观测到 H-1" 与 H-2" 相关信号, 黄酮母核外的 2 个异戊烯基结构片段得到确认。综

表 1 化合物 1 的 ^1H - 和 ^{13}C -NMR 数据 (600/150 MHz, DMSO- d_6)
Table 1 ^1H - and ^{13}C -NMR spectral data of compound 1 (600/150 MHz, DMSO- d_6)

碳位	δ_{C}	δ_{H}	碳位	δ_{C}	δ_{H}
2	163.9		6'	128.5	7.94 (d, $J = 8.8$ Hz)
3	102.9	6.83 (s)	1''	115.2	6.64 (dd, $J = 10.1, 0.8$ Hz)
4	181.9		2''	127.6	5.73 (d, $J = 10.1$ Hz)
4a	104.5		3''	80.1	
5	155.4		4''	26.3	1.41 (s)
6	104.9		5''	43.5	2.39 (d, $J = 7.2$ Hz)
7	159.0		6''	118.8	5.53 (m)
8	94.7	6.57 (d, $J = 0.8$ Hz)	7''	143.5	5.62 (brd, $J = 15.5$ Hz)
8a	156.4		8''	68.8	
1'	121.0		9''	29.9	1.07 (s)
2'	128.5	7.94 (d, $J = 8.8$ Hz)	10''	29.8	1.08 (s)
3'	116.0	6.93 (d, $J = 8.8$ Hz)	5-OH		13.37 (s)
4'	161.3		4'-OH		10.39 (s)
5'	116.0	6.93 (d, $J = 8.8$ Hz)	8''-OH		4.43 (s)

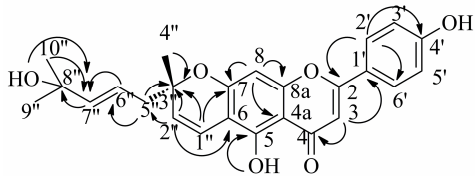


图 1 化合物 1 的主要 HMBC ($\text{H} \rightarrow \text{C}$) 相关信号

Fig. 1 Key HMBC ($\text{H} \rightarrow \text{C}$) correlations of compound 1

合以上信息确定了化合物 1 的平面结构。

$\text{C}_6''-\text{C}_7''$ 烯键的空间构型通过 $\text{H}_{7''}$ 携带常数 ($J = 15.5$ Hz) 及红外光谱中烯烃碳氢面外弯曲振动特征吸收峰 (974 cm^{-1}) 确定其为反式构型。化合物 1 在 $\text{C}_{3''}$ 位具有 1 个手性中心, 其立体构型通过实验圆二色谱 (ECD) 结果与计算 ECD 结果比对进行确定。采用 SYBYL-X 2.1.1 软件对其构象进行分析, 利用高斯 09 软件对化合物构象进行几何优化、频率和 ECD 计算。计算采用 B3LYP 泛函, 6-31+G (d) 原子基组, 溶剂化模式为极化连续模型 PCM (甲醇)。运用 SpecDis 1.70.1 软件得到化合物 1 的 R 和 S 2 种构型计算 ECD 图。如图 2 所示, $\text{C}_{3''}$ 位 S 构型的理论计算 ECD 数据与实验结果最为接近, 故推测 $\text{C}_{3''}$ 位为 S 构型。至此, 化合物 1 的结构被确定为 (2S)-5-羟基-2-[$(2E)$ -4-羟基-4-甲基戊-2-烯-1-基]-8-(4-羟苯基)-2-甲基-2H,6H-苯并 [1,2-b:5,4-b'] 二吡喃-6-酮, 经检索该化合物为未经文献报道的新

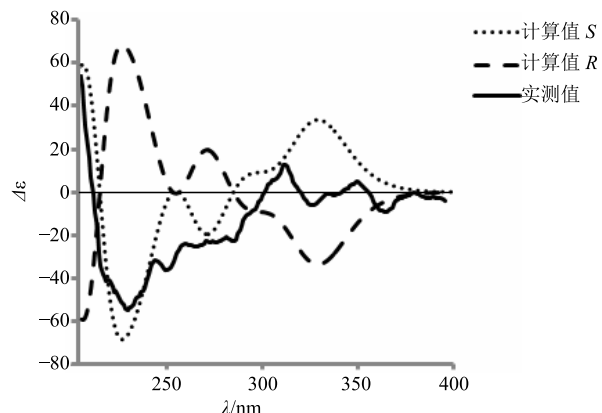


图 2 化合物 1 计算及实测 ECD 光谱图

Fig. 2 Experimental and calculated ECD spectra of compound 1

化合物, 命名为桑枝酮 A。

化合物 2: 黄色粉末 (甲醇), ESI-MS m/z : 359 [$\text{M} + \text{Na}$]⁺, ^1H -NMR (400 MHz, DMSO- d_6) δ : 7.90 (2H, d, $J = 8.7$ Hz, H-2', 6'), 6.92 (2H, d, $J = 8.7$ Hz, H-3', 5'), 6.80 (1H, s, H-3), 6.56 (1H, s, H-8), 6.55 (1H, d, $J = 10.0$ Hz, H-1''), 5.75 (1H, d, $J = 10.0$ Hz, H-2''), 1.43 (6H, s, H-4'', 5''); ^{13}C -NMR (100 MHz, DMSO- d_6) δ : 182.0 (C-3), 164.0 (C-7), 161.4 (C-5), 158.6 (C-2), 156.4 (C-4'), 155.5 (C-8a), 128.9 (C-2''), 128.5 (C-2', 6'), 121.0 (C-1''), 116.0 (C-3', 5'), 114.6 (C-1''), 104.8 (C-6), 104.6 (C-4a), 102.9 (C-3), 95.0 (C-8), 77.9 (C-3''), 27.8 (C-4''), 27.8 (C-5'')”。以上数据

与文献数据^[9]比对, 鉴定化合物 2 为 carpachromene。

化合物 3: 黄色粉末(甲醇), ESI-MS m/z : 325 [M+H]⁺; ¹H-NMR (400 MHz, CD₃OD) δ : 7.84 (1H, d, J = 8.9 Hz, H-6'), 7.79 (1H, d, J = 15.3 Hz, H- β), 7.62 (1H, d, J = 15.3 Hz, H- α), 7.61 (2H, d, J = 8.6 Hz, H-2, 6), 6.84 (2H, d, J = 8.6 Hz, H-3, 5), 6.43 (1H, d, J = 8.9 Hz, H-5'), 5.23 (1H, m, H-2''), 3.34 (2H, m, H-1''), 1.78 (3H, s, H-5''), 1.66 (3H, s, H-4''); ¹³C-NMR (100 MHz, CD₃OD) δ : 193.2 (C=O), 164.5 (C-4'), 163.2 (C-2''), 161.0 (C-4), 144.8 (C- β), 131.4 (C-3''), 131.2 (C-2, 6), 130.0 (C-6'), 127.4 (C-1), 123.1 (C-2''), 118.1 (C- α), 116.5 (C-3, C-5), 116.1 (C-3''), 114.1 (C-1''), 107.7 (C-5''), 25.4 (C-5''), 22.1 (C-1''), 17.4 (C-4'')^[10]。以上数据与文献报道的数据比对, 鉴定化合物 3 为补骨脂乙素。

化合物 4: 黄色粉末(甲醇), ESI-MS m/z : 257 [M+H]⁺; ¹H-NMR (400 MHz, CD₃OD) δ : 7.94 (1H, d, J = 9.0 Hz, H-6'), 7.76 (1H, d, J = 15.0 Hz, H- β), 7.59 (1H, d, J = 15.0 Hz, H- α), 7.58 (2H, d, J = 8.4 Hz, H-2, 6), 6.83 (2H, d, J = 8.4 Hz, H-3, 5), 6.38 (1H, dd, J = 9.0, 2.4 Hz, H-5'), 6.26 (1H, d, J = 2.4 Hz, H-3'); ¹³C-NMR (100 MHz, CD₃OD) δ : 193.5 (C=O), 167.5 (C-4'), 166.6 (C-2''), 161.6 (C-4), 145.6 (C- β), 133.4 (C-6'), 131.8 (C-2, 6), 127.9 (C-1), 118.4 (C- α), 116.9 (C-3, 5), 114.7 (C-1''), 109.2 (C-5''), 103.8 (C-3'')^[11]。以上数据与文献报道的数据比对, 鉴定化合物 4 为异甘草素。

化合物 5: 黄色针状结晶(甲醇), UV $\lambda_{\text{max}}^{\text{MeOH}}$ (nm): 213, 269, 336; ¹H-NMR (400 MHz, DMSO-*d*₆) δ : 13.00 (1H, s, OH), 7.92 (2H, d, J = 8.8 Hz, H-2', 6'), 6.92 (2H, d, J = 8.8 Hz, H-3', 5'), 6.78 (1H, s, H-3), 6.48 (1H, d, J = 2.0 Hz, H-6), 6.19 (1H, d, J = 2.0 Hz, H-8); ¹³C-NMR (100 MHz, DMSO-*d*₆) δ : 181.7 (C-4), 164.1 (C-7), 163.7 (C-2), 161.4 (C-8a), 161.1 (C-4'), 157.2 (C-5), 128.4 (C-2', 6'), 121.1 (C-1''), 115.9 (C-3', 5'), 103.6 (C-4a), 98.8 (C-6), 102.8 (C-3), 93.9 (C-8)^[12]。以上数据与文献报道的数据比对, 鉴定化合物 5 为芹菜素。

化合物 6: 淡黄色粉末(甲醇), UV $\lambda_{\text{max}}^{\text{MeOH}}$ (nm): 207, 256, 372; ESI-MS m/z : 301 [M-H]⁻; ¹H-NMR (400 MHz, DMSO-*d*₆) δ : 12.48 (1H, s, 5-OH), 9.30~

9.20 (2H, brs, 3, 3'-OH), 7.68 (1H, d, J = 2.0 Hz, H-2'), 7.55 (1H, dd, J = 8.4, 2.0 Hz, H-6'), 6.88 (1H, d, J = 8.4 Hz, H-5'), 6.40 (1H, d, J = 2.0 Hz, H-8), 6.19 (1H, d, J = 2.0 Hz, H-6); ¹³C-NMR (100 MHz, DMSO-*d*₆) δ : 175.8 (C-4), 163.8 (C-7), 160.6 (C-8a), 156.1 (C-5), 147.6 (C-4'), 146.7 (C-2), 145.0 (C-3'), 135.6 (C-3), 121.9 (C-1''), 119.9 (C-6'), 115.5 (C-5'), 115.0 (C-2'), 102.9 (C-4a), 98.1 (C-6), 93.3 (C-8)。以上数据与文献报道^[13]的数据比对, 鉴定化合物 6 为槲皮素。

参考文献

- [1] 国家中医药管理局《中华本草》编委会. 中华本草(第2卷) [M]. 上海: 上海科学出版社, 1999.
- [2] Hnk T, Nguyen V T, Kim J A, et al. Anti-inflammatory activities of compounds from twigs of *Morus alba* [J]. *Fitoterapia*, 2017, 120: 17-24.
- [3] 艾文, 何厚洪, 杜昕, 等. 桑枝化学成分的研究 [J]. 中成药, 2017, 39(9): 1861-1866.
- [4] 陈震, 汪仁芸, 朱丽莲, 等. 桑枝水提取物化学成分的研究 [J]. 中草药, 2000, 31(7): 24-25.
- [5] 许延兰, 李续娥, 邹宇晓, 等. 广东桑枝的化学成分研究 [J]. 中国中药杂志, 2008, 33(21): 2499-2502.
- [6] Wang M, Gao L X, Wang J, et al. Diels-Alder adducts with PTP1B inhibition from *Morus notabilis* [J]. *Phytochemistry*, 2015, 109: 140-146.
- [7] Xu L J, Yu M H, Huang C Y, et al. Isoprenylated flavonoids from *Morus nigra* and their PPAR γ agonistic activities [J]. *Fitoterapia*, 2018, 127: 109-114.
- [8] Navrátilová A, Schneiderová K, Veselá D, et al. Minor C-geranylated flavanones from *Paulownia tomentosa* fruits with MRSA antibacterial activity [J]. *Phytochemistry*, 2013, 89(3): 104-113.
- [9] 宋敬丽, 高慧, 袁林, 等. 大叶藤黄化学成分研究 [J]. 安徽农业科学, 2015, 43(32): 222-224.
- [10] Pistelli L, Spera K, Flamini G, et al. Isoflavonoids and chalcones from *Anthyllis hermanniae* [J]. *Phytochemistry*, 1996, 42(5): 1455-1458.
- [11] 何轶, 鲁静, 林瑞超. 板蓝根化学成分研究 [J]. 中草药, 2003, 34(9): 777-778.
- [12] 张红伟, 张琳, 孙晓飞, 等. 垫状卷柏化学成分研究 [J]. 亚太传统医药, 2008, 4(6): 36-37.
- [13] 于德泉, 杨峻山. 分析化学手册(第7分册) [M]. 第2版. 北京: 化学工业出版社, 1999.